

Решая совместно уравнения (17) и (18), получим для установившегося режима измерения при $K_m(\tau) = K_m(0) e^{-\gamma_m |\tau|}$

$$\overline{u(t)} \xrightarrow[t \rightarrow \infty]{} \bar{\Theta} + \frac{K_{m\Theta}(0)}{\bar{m}} \frac{1 - \frac{\bar{m}}{\bar{m} + \gamma_{m\Theta}}}{1 - k^2 \frac{\bar{m}}{\bar{m} + \gamma_m}}. \quad (19)$$

Рассмотрим два численных примера, из которых становится очевидной вполне удовлетворительная точность полученных выше приближенных соотношений.

1. $\bar{\Theta} = 0$; $\bar{m} = 10^4$ 1/ч; $\gamma_m = 8 \cdot 10^3$ 1/ч; $\gamma_{m\Theta} = 80$ 1/ч; $k = 0,4$; $K_{m\Theta}(0) = \rho \sqrt{K_m(0) K_\Theta(0)}$; $\rho = 0,8$; $K_\Theta(0)$ — дисперсия измеряемой характеристики $\Theta(t)$.

По точной формуле (11) $\overline{\sqrt{K_\Theta(0)}} \xrightarrow[t \rightarrow \infty]{} 0,00329$.

Соотношение (16) дает $\overline{\sqrt{K_\Theta(0)}} \xrightarrow[t \rightarrow \infty]{} 0,00254$, что отличается на $\sim 22\%$ от точного результата.

Из (19) получаем $\overline{\sqrt{K_\Theta(0)}} \xrightarrow[t \rightarrow \infty]{} 0,00279$. Этот результат отклоняется от точного на $\sim 15\%$.

2. $\bar{\Theta} = 0$; $\bar{m} = 100$ 1/ч; $\gamma_m = \gamma_{m\Theta} = 10^4$ 1/ч; $k = 0,4$; $\rho = 0,8$.

Точный результат: $\overline{\sqrt{K_\Theta(0)}} \xrightarrow[t \rightarrow \infty]{} 0,3219$.

Из (16) получаем $\overline{\sqrt{K_\Theta(0)}} \xrightarrow[t \rightarrow \infty]{} 0,3168$, что отличается на $\sim 16\%$ от точного результата.

Из (19) имеем $\overline{\sqrt{K_\Theta(0)}} \xrightarrow[t \rightarrow \infty]{} 0,3173$, т. е. отличие от точного результата составляет $\sim 14\%$. Таким образом, второй из рассмотренных методов является несколько более точным и достаточно простым.

ЛИТЕРАТУРА

1. А. М. Азизов, В. А. Иванов, В. И. Лопухов, А. С. Поваренков. Вероятностный анализ измерительных систем первого порядка. — Автометрия, 1974, № 2.
2. S. A. Schelkunoff. Solution of Linear and Slightly Nonlinear Differential Equations. — Quant. J. Appl. Math., 1946, v. 3, N 4.

Поступило в редакцию 20 марта 1974 г.

УДК 621.317.3

Г. С. ПЕВЗНЕР, Г. З. ЩЕРБАКОВСКИЙ
(Ленинград)

ИССЛЕДОВАНИЕ ПЕРЕХОДНЫХ РЕЖИМОВ КОММУТАТОРА

За последнее время появился ряд работ, посвященных математическому описанию коммутаторов. Так, в [1] приведена простейшая статическая модель коммутатора на напряжении постоянного тока. Для этой модели получена приближенная зависимость ошибки коммутации от параметров коммутатора и исследованы схемные методы уменьшения этой ошибки. В работе [2] приведены выражения для погрешности коммутации бесконтактных коммутаторов напряжения: для одноступенчатого коммутатора — точная формула, для двухступенчатого — приближенная. При выводе формул все сопротивления полагаются чисто активными, т. е. предлагается статическая модель измерительного коммутатора. Наконец, в [3] подробно исследованы коммутаторы различной структуры: одноступенчатые и многоступенчатые, с отключением и закорачиванием неопрашиваемых каналов, комбинированные. Рассмотрен случай коммутации сигналов генераторных дат-

чиков. При выводе зависимости вносимой коммутатором погрешности от параметров схемы использовался аппарат метода комплексных амплитуд, пригодный, как известно, лишь для исследования установившихся процессов при синусоидальных входных сигналах.

В данной работе рассматривается линейная динамическая модель коммутатора генераторных потенциальных датчиков (измерительных преобразователей).

Структурная схема измерительного коммутатора генераторных датчиков и соответствующая ей расчетная схема представлены на рис. 1.

Принятые на рис. 1 обозначения: D_k — k -й датчик ($k=1, \dots, n$); K_k — k -й ключ; H — нагрузка; $U_k(p) = L\{e_k(t)\}$, где $e_k(t)$ — ЭДС k -го датчика; $i_k(p) = L\{i_k(t)\}$, где $i_k(t)$ — ток в k -м контуре; $X_k(p)$ — оператор, ставящий в соответствие ток и падение напряжения в k -й ветви; $Y(p)$ — соответствующий оператор нагрузки; n — число коммутируемых каналов.

Помехи, обусловленные паразитными токами и ЭДС, пока не рассматриваем. Считаем, что в исходном состоянии система обладает нулевым запасом энергии. Значения контурных токов определяются по формуле

$$i_k(p) = \frac{\sum_{m=1}^k \frac{U_m(p)}{X_m(p)} \left(\sum_{m=k+1}^n \frac{1}{X_m(p)} + \frac{1}{Y(p)} \right) - \sum_{m=1}^k \frac{1}{X_m(p)} \sum_{m=k+1}^n \frac{U_m(p)}{X_m(p)}}{\sum_{m=1}^n \frac{1}{X_m(p)} + \frac{1}{Y(p)}} \quad (k = 1, \dots, n). \quad (1)$$

Тогда падение напряжения на нагрузке

$$U_Y(p) = i_n(p) Y(p) = \frac{\sum_{m=1}^n \frac{U_m(p)}{X_m(p)}}{\sum_{m=1}^n \frac{1}{X_m(p)} + \frac{1}{Y(p)}}. \quad (2)$$

Отметим еще раз, что полученная формула имеет место при нулевом начальном запасе энергии в системе. Проследим за ходом решения в следующем весьма распространенном случае: выходные сопротивления датчиков и нагрузки чисто активные; ключ представляет собой сопротивление, шунтированное емкостью. Найдем оператор $X_k(p)$, а также методику решения при ненулевых начальных условиях.

Пусть в исходном состоянии конденсаторы заряжены до потенциалов γ_k и γ_{k+1} (рис. 2).

Имеем

$$i_1(t) R_k = \frac{1}{c_k} \int i_2(t) dt = \frac{1}{c_k} \int_0^t i_2(t) dt + \gamma_k.$$

Отсюда

$$i_1(p) R_k = \frac{i_2(p)}{c_k p} + \frac{\gamma_k}{p}; \quad i_k(p) = i_1(p) + i_2(p) = i_1(p) [1 + p T_k] - \gamma_k c_k;$$

$$T_k = R_k c_k; \quad i_1(p) = \frac{i_k(p) + \gamma_k c_k}{1 + p T_k}; \quad q_1(p) = q_2(p) - i_1(p) R_k =$$

$$= i_k(p) \frac{R_k}{1 + p T_k} + \frac{\gamma_k T_k}{1 + p T_k}.$$

Введем

$$X_k(p) = \frac{R_k}{1 + p T_k} + r_k.$$

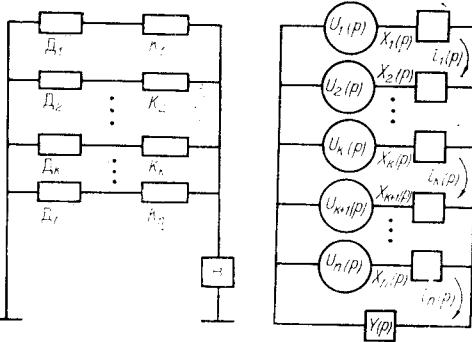
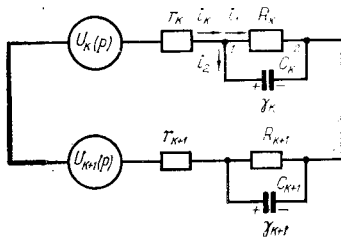


Рис. 1.

Уравнение Кирхгофа запишется так:

$$i_k(p) [X_k(p) + X_{k+1}(p)] - i_{k-1}(p) X_k(p) - i_{k+1}(p) X_{k+1}(p) = -\frac{\gamma_k T_k}{1+pT_k} + \frac{\gamma_{k+1} T_{k+1}}{1+pT_{k+1}} + U_k(p) - U_{k+1}(p).$$

Оно будет инвариантно уравнению, записанному для k -го контура при нулевых начальных условиях, если ввести $U_k^{(1)}(p) = U_k(p) -$



$-\frac{\gamma_k T_k}{1+pT_k}$. Методика решения вполне ясна. В момент включения коммутатора емкости не заряжены. Находим по формуле (2) $U_Y(p)$. После этого переходим к нахождению $\gamma_k(p)$, что необходимо для определения начальных условий для следующего этапа работы коммутатора:

Рис. 2.

$$\gamma_k(t) = \frac{1}{c_k} \int_0^t i_2(t) dt; \quad \hat{\gamma}_k(p) = \frac{i_2(p)}{c_k p} = \frac{R_k}{1+pT_k} [i_k(p) - i_{k-1}(p)].$$

На основании (1)

$$i_k(p) - i_{k-1}(p) = \frac{U_k(p)}{X_k(p)} - \frac{\frac{1}{X_k(p)} \sum_{m=1}^n \frac{U_m(p)}{X_m(p)}}{\sum_{m=1}^n \frac{1}{X_m(p)} + Y(p)} = \frac{U_k(p)}{X_k(p)} - \frac{U_Y(p)}{X_k(p)};$$

$$\hat{\gamma}_k(p) = \frac{U_k(p) - U_Y(p)}{X_k(p)} \frac{R_k}{1+pT_k}.$$

Пусть $t=t^{(1)}$ — время окончания опроса 1-го канала. Найдя $\gamma_k(t)=L^{-1}\{\hat{\gamma}_k(p)\}$, получим начальные условия для следующего этапа. $U_Y(t)$ дает нам закон изменения сигнала на выходе. Сместив начало отсчета времени в точку $t=t^{(1)}$, решаем далее в той же последовательности. Необходимо помнить (при нахождении $U_k^{(1)}(p)$), что при смещении начала отсчета, вообще говоря, изменяются и $U_k(p)$.

На практике распространена ситуация: $r_\kappa=r$, $R_\kappa=R$, $\tilde{R}_\kappa=\tilde{R}$ (R_κ — сопротивление замкнутого ключа, R_κ — сопротивление разомкнутого ключа), $c_\kappa=c$, $\tilde{c}_\kappa=\tilde{c}$ для всех $\kappa=1, \dots, n$. Обычно $\tilde{R} \ll r \ll R$; $T \ll T$. Пусть сначала опрашивается i -й канал. С учетом вышеуказанного формула (2) примет вид:

$$U_Y(p) = \frac{Y \left[r (1+pT) (1+p\tilde{T}) \sum_{\substack{k=1 \\ (k \neq i)}}^n U_k(p) + R (1+p\tilde{T}) \left(1 + \frac{r}{R} pT \right) U_i(p) \right]}{p^2 (YnrT\tilde{T} + r^2T\tilde{T}) + p (YnrT + YR\tilde{T} + r^2T + Rr\tilde{T}) + Ynr + YR + Rr}. \quad (3)$$

Как видно из этого выражения, нахождение оригинала, т. е. $U_Y(t)$, не представляет труда, ибо полюса функции $U_Y(p)$ находятся элементарно. Учет паразитных ЭДС и токов осуществляется путем сложения их со входными сигналами.

Для иллюстрации изложенной методики рассмотрим числовой пример.

Пусть значения параметров таковы: $R=10^9$ Ом; $\tilde{R}=1$ Ом; $r=2 \cdot 10^3$ Ом; $Y=10^6$ Ом; $n=100$; $c=4$ пФ; $\tilde{c}=4$ пФ; $U_\kappa=1$ В ($\kappa=1, \dots, 100$).

Определим T и \tilde{T} : $T=Rc=4 \cdot 10^{-3}$ с; $\tilde{T}=\tilde{R}\tilde{c}=4 \cdot 10^{-12}$ с.

Видим, что выполнены условия применимости формулы (3). Подставив в (3) исходные значения параметров, получим

$$U_Y(p) = \frac{10^9 (1+4 \cdot 10^{-12} p) 198 (1+4 \cdot 10^{-3} p) + 10^6 (1+8 \cdot 10^{-9} p)}{p (32 \cdot 10^{-4} p^2 + 8 \cdot 10^8 p + 1,0022 \cdot 10^{15})}.$$

$$\text{Оригинал } U_Y(t) = 0,9980 - 0,0002e^{-0,125 \cdot 10^7 t}. \quad (4)$$

Пусть сначала опрашивается i -й канал ($i=1, \dots, 100$):

$$\hat{\gamma}_{k \neq i}(p) = \frac{U_k(p) - U_Y(p)}{r + \frac{R}{1+pT}} \frac{R}{1+pT} \approx \frac{1}{1 + \frac{r}{R} pT} [U_k(p) - U_Y(p)].$$

После подстановки значений параметров и несложной операции обращения (все полюса простые) получим

$$\gamma_k(t) \approx 0,002 \left(1 - e^{-0,125 \cdot 10^{9t}} \right);$$

$$\hat{\gamma}_i(p) = \frac{U_i(p) - U_Y(p)}{r + \frac{\tilde{R}}{1+p\tilde{T}}} \frac{\tilde{R}}{1+p\tilde{T}} \approx \frac{\tilde{R}}{r(1+p\tilde{T})} [U_i(p) - U_Y(p)];$$

$\gamma_i(t) = 0$ (с интересующей нас точностью).

Естественно принять момент начала работы коммутатора $t_0 = 0$.

Пусть время опроса i -го канала $t^{(i)} = 0,01$ с. Тогда $\gamma_k = \gamma_k(t^{(i)}) = 0,002$ В; $\gamma_i = \gamma_i(t^{(i)}) = 0$.

Теперь смещаем начало отсчета в точку $t = 0,01$ с и пересчитываем входные воздействия. Пусть вслед за i -м каналом опрашивается l -й канал ($l=1, \dots, 100$). Тогда

$$U_k^{(1)}(p) = \frac{1}{p} - \frac{0,002T}{1+pT} = \frac{1+0,998pT}{p(1+pT)}, \text{ т. е. } U_k^{(1)}(p) \approx \frac{1}{p} (k \neq i, l); \quad U_k^{(1)} = \frac{1}{p},$$

$U_l^{(1)}(p) = \frac{1}{p}$ (при переключении с i -го на l -й канал вместо c_l в расчетной схеме стоит \tilde{c}_l , которая незаряжена).

Итак, мы видим, что в данном конкретном примере $U_k^{(1)}(p) = U_k(p)$ для всех $k = 1, \dots, 100$.

Следовательно, процесс решения закончен. Интересующее нас падение напряжения на нагрузке определяется по формуле (4) при опросе любого канала, причем t — время, прошедшее от начала опроса рассматриваемого канала. Разумеется, столь простой результат получается потому, что все U_k выбраны постоянными и одинаковыми; кроме того, при учете паразитных явлений (главным образом, тока утечки разомкнутого ключа) потенциалы γ_k , до которых заряжаются конденсаторы, оказываются более значительными. На рис. 3, а, б представлены графики изменения выходной величины U_Y и абсолютной погрешности δ_{abs} в зависимости от времени.

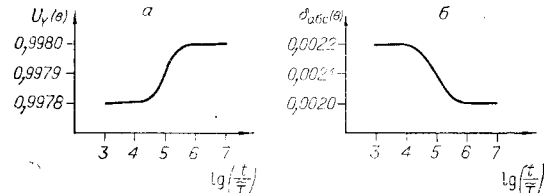


Рис. 3.

Выражение (4) позволяет утверждать, что рассматриваемая модель отражает реальные связи метрологических характеристик коммутатора с входными сигналами и параметрами датчиков измерительных преобразователей, ключей и нагрузок и может быть использована как самостоятельно, так и в описании систем.

ЛИТЕРАТУРА

1. С. М. Персиан. Прецизионный бесконтактный коммутатор напряжений постоянного тока.— В кн.: Геофизическое приборостроение. Вып. 16. Л., Гостоптехиздат, 1963.
2. Л. М. Персиан, С. М. Персиан. Способ повышения точности коммутации высокочастотных датчиков.— В кн.: Труды Главной Геофизической обсерватории им. А. И. Воронова. Вып. 199. Л., Главное Управление Гидрометеослужбы при Совете Министров СССР, 1966.
3. Т. И. Полянская. Исследование прецизионных коммутирующих устройств многоканальных преобразователей напряжения в код. Диссертация на соискание ученой степени кандидата технических наук ЛЭТИ им. В. И. Ульянова-Ленина, Л., 1969.

Поступило в редакцию 29 февраля 1972 г.; окончательный вариант — 13 января 1973 г.